

УДК 547.571 + 547.639

СИНТЕЗ И СТЕРЕОХИМИЧЕСКОЕ СТРОЕНИЕ МОНО- И ДИФОРМИЛТРИПРОПОКСИКАЛИКС[4]АРЕНОВ

Ю.И.Матвеев

Институт органической химии НАН Украины
02660, г. Киев-94, ул. Мурманская, 5. E-mail: yui@cdmaua.

Ключевые слова: формилкаликсарены; супрамолекулярные рецепторы; внутренняя хиральность

Региоселективным алкилированием 5-формил-25,27-дипропокси-26,28-дигидроксикаликс[4]арена пропиломбромидом в среде ДМСО-NaOH, а также формилированием тетрапропоксикаликс[4]арена дихлорометил-метиловым эфиром в присутствии кислоты Льюиса SnCl₄ получены соответственно 5-формил-25,26,27-трипропокси-28-гидроксикаликс-[4]арен 1 и 5,11-диформил-25,26,27-трипропокси-28-гидроксикаликс-[4]арен 2. Спектроскопией ЯМР ¹H, ¹³C с применением методики COSY и хирального сдвигающего реагента Пиркля установлено, что полученные соединения 1, 2 существуют в стереохимической конформации конус, а молекула каликсарен 2 является внутренне хиральной за счет асимметрической суперпозиции заместителей нижнего и верхнего обода макроцикла. Синтезированные формилкаликсарены являются перспективными синтонами для дизайна супрамолекулярных рецепторов.

SYNTHESIS AND THE STEREOCHEMICAL STRUCTURE OF MONO- AND DIFORMYL TRIPROPOXY-CALIX[4]ARENES

Yu.I.Matveev

5-Formyl-25,26,27-tripropoxy-28-hydroxycalix[4]arene 1 and 5,11-diformyl-25,26,27-tripropoxy-28-hydroxycalix[4]arene 2 have been obtained by regioselective alkylation of 5-formyl-25,27-dipropoxy-26,28-dihydroxycalix[4]arene with propyl bromide in the DMSO-NaOH medium and by formylation of tetrapropoxycalix[4]arene with dichloromethyl methyl ether in the presence of Lewis acid SnCl₄, respectively. The compounds 1, 2 synthesized have been proven to exist in the cone conformation by ¹H and ¹³C NMR spectroscopy with application of COSY technique. The inherent chirality of calixarene 2 caused by asymmetric arrangement of substituents at the both macrocycle rims has been confirmed by ¹H NMR spectra with addition of Pirkle's shift reagent. The formyl calixarenes obtained are promising synthon for design of supramolecular receptors.

СИНТЕЗ ТА СТЕРЕОХІМІЧНА БУДОВА МОНО- ТА ДИФОРМІЛТРИПРОПОКСИКАЛІКС[4]АРЕНІВ

Ю.І.Матвеев

Региоселективним алкілуванням 5-форміл-25,27-дипропокси-26,28-дигідроксикалікс[4]арену пропиломбромідом у середовищі ДМСО-NaOH, а також формілуванням тетрапропоксикалікс[4]арену дихлорометил-метиловим етером у присутності кислоти Льюїса SnCl₄ отримані відповідно 5-форміл-25,26,27-трипропокси-28-гідроксикалікс[4]арен 1 та 5,11-диформіл-25,26,27-трипропокси-28-гідроксикалікс[4]арен 2. Спектроскопією ЯМР ¹H, ¹³C із застосуванням методики COSY та хірального зсуваючого реагента Піркле встановлено, що отримані сполуки 1, 2 існують у стереохімічній конформації конус, а молекула каліксарену 2 є внутрішньохіральною за рахунок асиметричного розташування замісників нижнього та верхнього вінців макроциклу. Синтезовані формілкаліксарени є перспективними синтонами для дизайну супрамолекулярних рецепторів.

Синтетически доступные каликс[4]арены [1], благодаря их уникальной трехмерной архитектуре и практически неограниченными возможностями функционализации как по широкому, так и по узкому ободу макроцикла используются в супрамолекулярной химии как трехмерные билдингоблоки для дизайна высокоселективных рецепторов катионов [2-5], анионов [6-8] и нейтральных молекул [9-11]. Распространенным методом функционализации каликсаренов, который открывает широкие перспективы синтеза супрамолекулярных

рецепторов, является (селективное) формилирование широкого (верхнего) обода макроцикла. Формильная группа обладает богатым синтетическим потенциалом и может быть легко трансформирована в другие функции. Известно много примеров использования формилкаликс[4]аренов для получения метилольных, карбоксильных [12], хлорометильных [13], α-аминофосфометильных [14] производных, в том числе энантиомерно чистых [15].

Настоящая работа посвящена синтезу и установлению стереохимического строения ранее не-

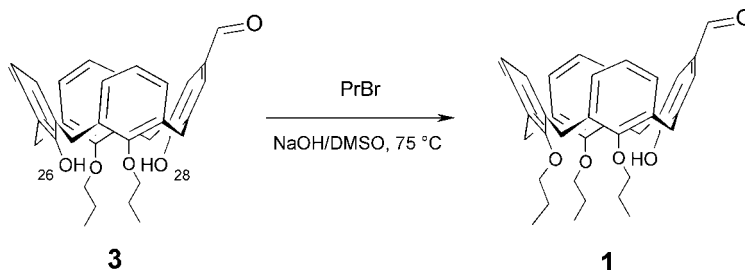


Схема 1

известных 5-формил-25,26,27-трипропокси-28-гидроксиликаликс[4]арена **1** и 5,11-диформил-25,26,27-трипропокси-28-гидроксиликаликс[4]арена **2**.

Формилкаликс[4]арены обычно получают реакцией незамещенных по верхнему ободу каликсаренов с гексаметилентетрамином в трифторуксусной кислоте [16] либо их реакцией с дихлорметилметиловым эфиром в присутствии кислот Льюиса (TiCl_4 или SnCl_4) [17]. Таким образом были синтезированы тетрагидрокси, дигидрокси-диалкокси и тетраалкоксиликаликс[4]арены с различным количеством и расположением формильных групп на верхнем ободу макроцикла. Формильные производные триалкоксиликаликс[4]аренов в литературе не описаны.

Моноформилтрипропоксиликаликс[4]арен **1** получен алкилированием гидроксильной группы в 28-м положении легкодоступного 5-формил-25,27-дипропокси-26,28-дигидроксиликаликс[4]арена **3** [18] пропилбромидом в среде ДМСО- NaOH при 75°C в течение 24 ч (схема 1). Реакция протекает региоселективно, исчерпывающее алкилирование, несмотря на 20-кратный избыток PrBr в данных условиях, не происходит. Это можно объяснить пассивацией достаточно кислой гидроксильной

группы формилкаликсарена **3** при образовании прочной вилочной водородной связи с соседними атомами кислорода [19].

В процессе алкилирования каликсарена **3** конформация *конус* макроциклического остова сохраняется. Об этом свидетельствует наличие дублетных сигналов АВ спиновых систем аксиальных и экваториальных протонов метиленовых связей $\text{Ar-CH}_2\text{-Ar}$ с константами $^2J_{\text{HH}} = 13$ Гц и разницей их химических сдвигов $\Delta\delta > 0.91$ м.д. в спектре ^1H ЯМР моноформилкаликсарена **1** (рис. 1). Дополнительным подтверждением конформации *конус* является положение мостиковых атомов углерода в спектре ^{13}C ЯМР при 30.57 и 30.46 м.д. [20]. В спектре ПМР присутствуют сигналы пропильных групп двух типов с соотношением интенсивностей 2:1. Сигнал гидроксильного протона наблюдается при 6.15 м.д., а протона альдегидной группы — при 9.88 м.д.

5,11-Диформил-25,26,27-трипропокси-28-гидроксиликаликс[4]арен **2** был синтезирован реакцией тетрапропоксиликаликс[4]арена **4** с 3-кратным избытком дихлорметилметилового эфира и 6-кратным избытком четыреххлористого олова в хлороформе при -20°C в течении 30 мин и дальнейшем

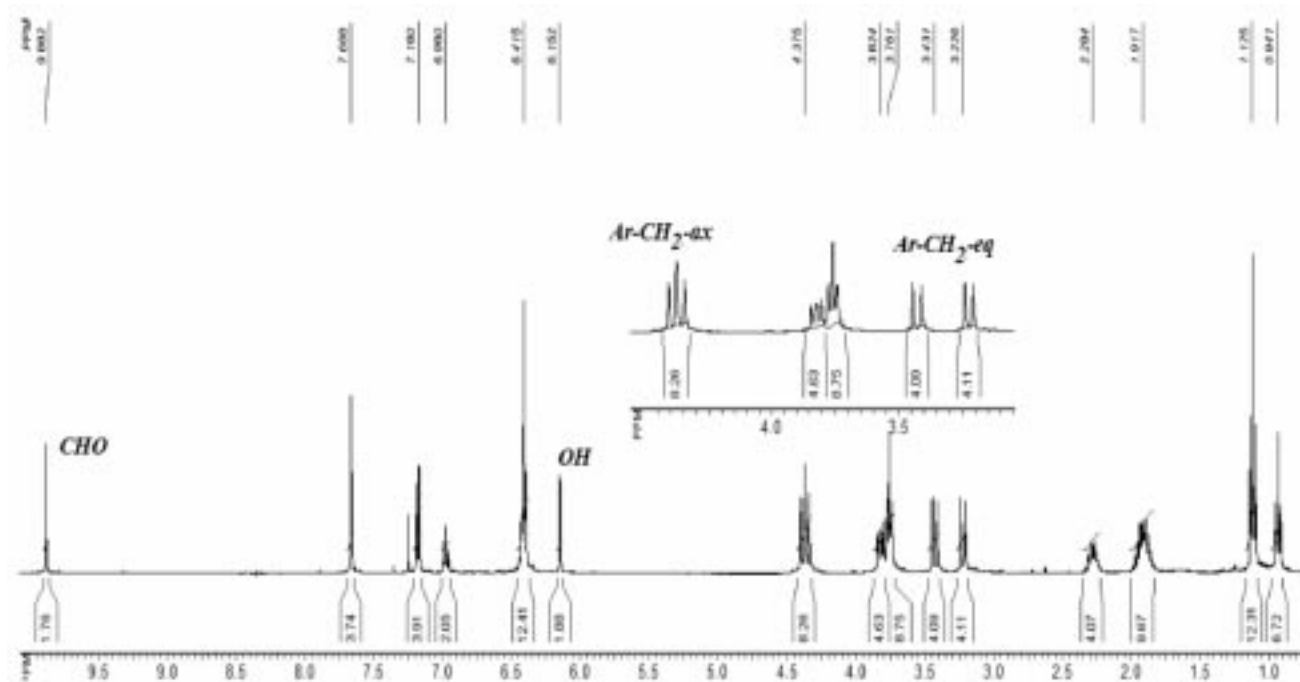


Рис. 1. Спектр ^1H ЯМР моноформилтрипропоксиликаликсарена **1** (400 МГц, CDCl_3 , 298К).

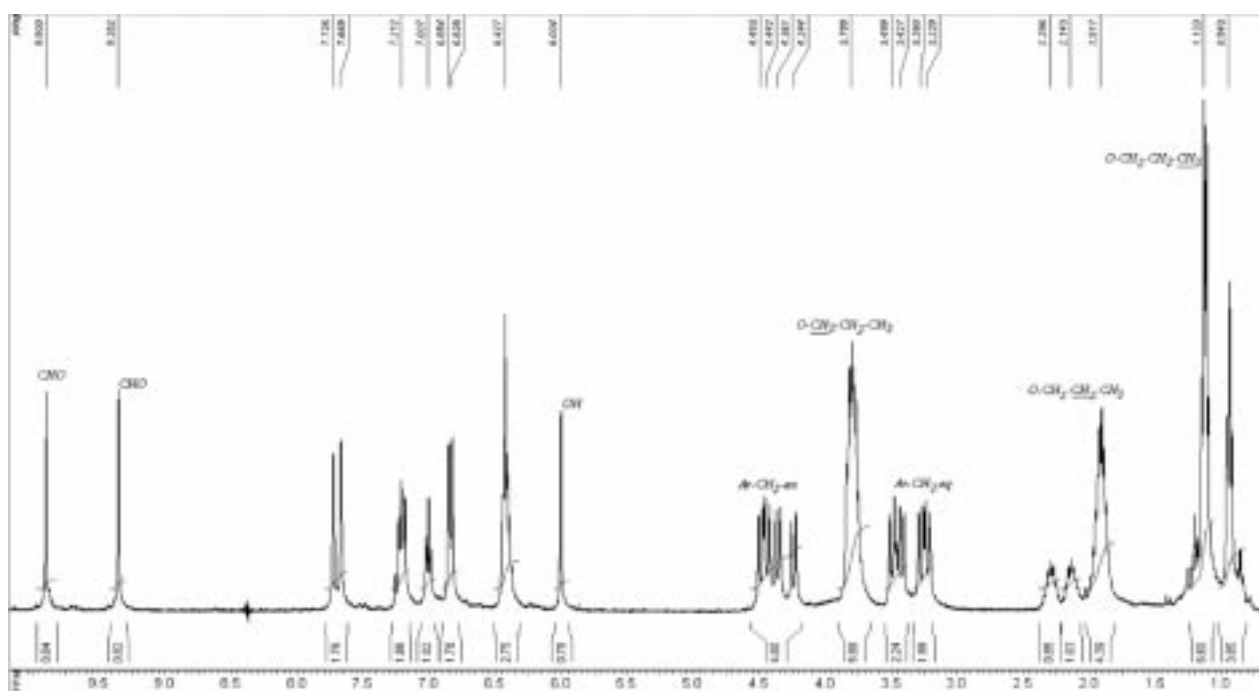


Рис. 2. Спектр ^1H ЯМР диформилтрипропоксикаликсарена **2** (400 МГц, CDCl_3 , 298К).

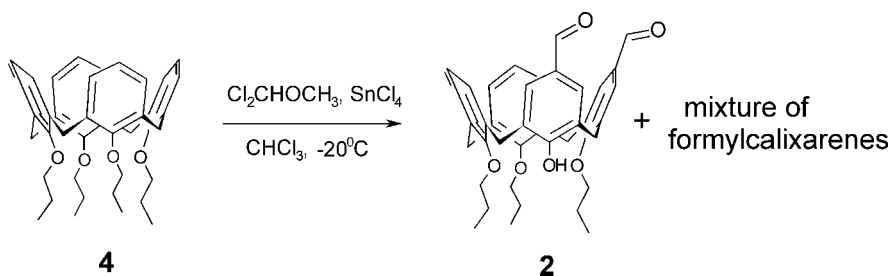


Схема 2

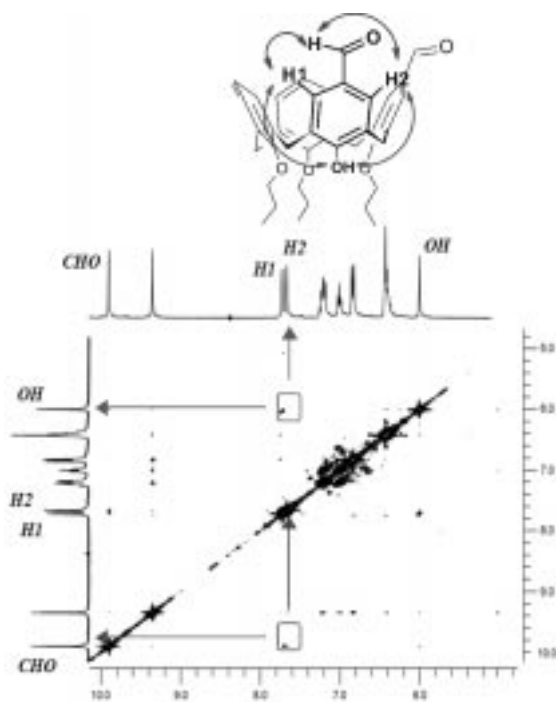


Рис. 3. Корреляция протонов в ЯМР ^1H - ^1H COSY спектре диформилтрипропоксикаликсарена **2**.

перемешивании реакционной смеси при комнатной температуре в течение 3 ч (схема 2). В этих условиях происходит введение двух формильных групп в проксимальные 5-ю и 11-ю позиции верхнего обода макроцикла и снятие под действием SnCl_4 [21] пропильной группы с 28-й позиции нижнего обода. При этом наряду с целевым соединением **2** образуется смесь продуктов моно- и полиформилирования, из которой целевой продукт выделяли колоночной хроматографией.

В спектре ЯМР ^1H диформилтрипропоксикаликсарена **2** (рис. 2) протоны CHO групп наблюдаются при 9.35 и 9.90 м.д. а протон OH группы — при 6.00 м.д. Сигналы экваториальных и аксиальных Ag- CH_2 -Ag протонов проявляются в спектре четырьмя дублетами при 3.18-3.55 м.д. и четырьмя перекрывающимися дублетами при 4.19-4.54 м.д., соответственно. Сигналы $\text{CH}_3\text{CH}_2\text{CH}_2$ одной из пропильных групп проявляются как два однопротонных мультиплета при 2.14 и 2.30 м.д. вследствие их диастереотопности.

Дополнительная информация о структуре каликсарена **2** получена с использованием методики ЯМР ^1H - ^1H COSY (рис. 3). Как видно из спектра, сигнал гидроксильного протона коррелирует с

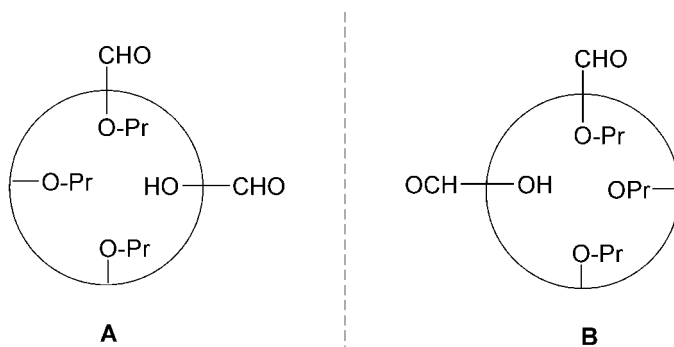


Рис. 4. Асимметричное расположение заместителей в энантиомерах **A** и **B** внутренне хирального каликсарена **2**.

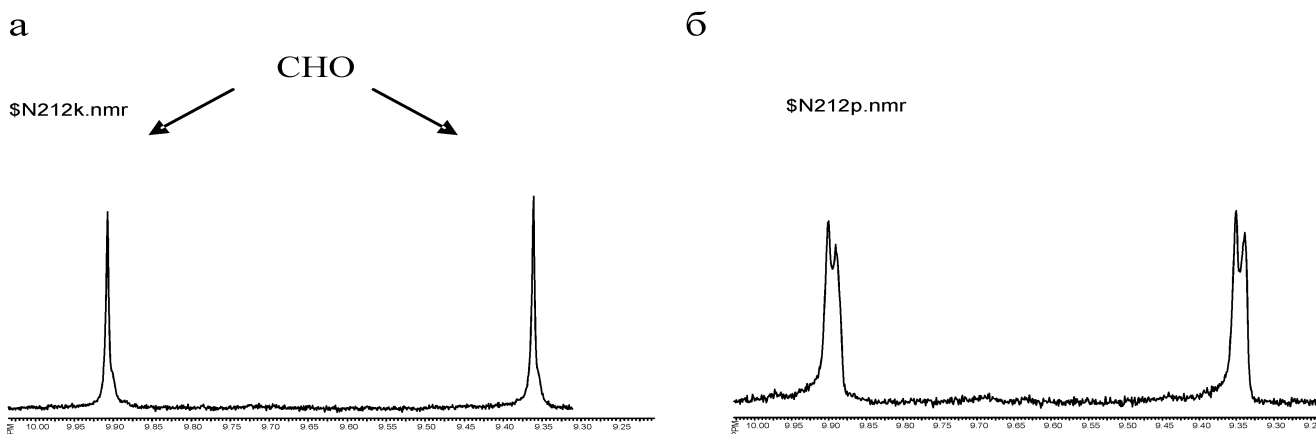


Рис. 5. Сигналы CHO групп в ПМР спектре (CDCl_3) рацемата **2** до (а) и после (б) добавления реагента Пиркле.

двумя синглетами соответствующими ароматическим протонам H1 и H2. В свою очередь, H1 и H2 коррелируют со слабопольным альдегидным протоном. Такие корреляции показывают, что гидроксильная и альдегидная группы находятся в одном и том же бензольном ядре макроцикла.

Достаточно сложный спектр ЯМР ^1H с удвоенным набором некоторых сигналов свидетельствует о внутренней хиральности молекулы **2**, обусловленной асимметричной суперпозицией заместителей верхнего и нижнего обода макроцикла (тип замещения AA^nBB^m [22]). В результате молекула не имеет плоскости симметрии (рис. 4). Соединение **2** представляет собой рацемическую смесь энантиомеров **A** и **B**.

Добавление хирального сдвигающего реагента Пиркле [(S)-2,2,2-трифторо-1-(9-антрил)этанола] к каликсарену **2** приводит к расщеплению сигналов альдегидных протонов в ПМР спектре (рис. 5) в результате образования двух диастереомерных комплексов. Поскольку расщепления других сигналов в спектре ПМР практически не наблюдается, можно предположить, что образование диастереомерных комплексов происходит за счет достаточно прочной водородной связи OH группы реагента Пиркле с одной из альдегидных групп энантиомеров **A** и **B** (рис. 6).

Экспериментальная часть

Все реакции проводились в безводных растворителях. Для колоночной хроматографии исполь-

зовался силикагель марки ACROS ORGANICS с размером зерен 0.04–0.06 мм. Спектры ПМР (внутренний стандарт — TMC) записаны на спектрометре Varian GEMINI 2000 с рабочей частотой 400 МГц. Спектры ЯМР ^{13}C (внутренний стандарт — TMC) записаны на спектрометре Varian GEMINI 2000 с рабочей частотой 100 МГц. Масс-

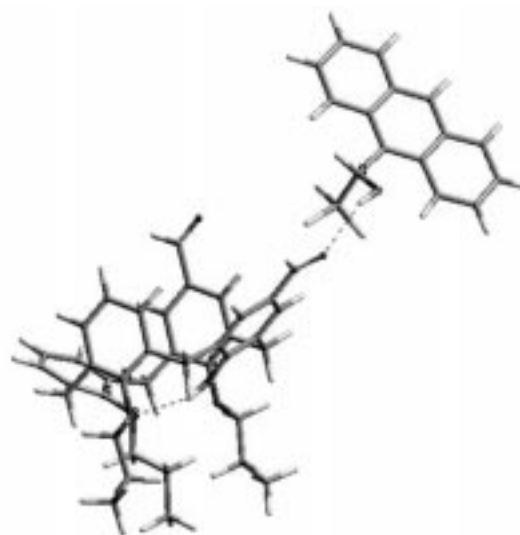


Рис. 6. Молекулярная модель диастереомерного комплекса диформилкаликсарена **2** с реагентом Пиркле. Межмолекулярная водородная связь 9-Anthryl(CF₃)CH-O-H...O=CH и внутримолекулярная водородная связь O-H...OPr представлены пунктирными линиями (HyperChem, MM⁺).

спектрометрические исследования проведены на спектрометре Agilent 1100 LC/MSD.

5-Формил-25,26,27-трипропокси-28-гидрокси-каликс[4]арен 1. К ДМСО (30 мл) прибавляют 40% раствор NaOH (4,2 мл, 60 ммоль) и моноформилкаликсарен **3** (1,61 г, 3 ммоль). Реакционную смесь нагревают до 50°C, через 30 мин прибавляют RgBr (5,5 мл, 60 ммоль). Раствор перемешивают при 75°C в течение 24 ч. Подкисляют разбавленной соляной кислотой (1:5) до pH 3-4. Образовавшийся осадок отфильтровывают, растворяют в хлороформе (20 мл). Раствор промывают водой (5×20 мл), затем насыщенным раствором NaCl (2×20 мл), сушат над сульфатом натрия. Растворитель упаривают, остаток кристаллизуют из смеси бензол/гексан. Получают бесцветное кристаллическое вещество.

Выход — 930 мг (53%). Т.пл. — 175-177°C. Спектр ЯМР ^1H (CDCl_3) δ , м.д.: 0.94 т (3H, $J_{\text{H-H}}^3 = 7.5$ Гц, $\text{OCH}_2\text{CH}_2\text{CH}_3$), 1.12 т (6H, $J_{\text{H-H}}^3 = 7.2$ Гц, $\text{OCH}_2\text{CH}_2\text{CH}_3$), 1.91 м (4H, $\text{OCH}_2\text{CH}_2\text{CH}_3$), 2.26 м (2H, $\text{OCH}_2\text{CH}_2\text{CH}_3$), 3.22 д (2H, $J_{\text{H-H}}^2 = 13.1$ Гц, Ar- CH_2 -экв.), 3.42 д (2H, $J_{\text{H-H}}^2 = 13.7$ Гц, Ar- CH_2 -экв.), 3.74 т (4H, $J_{\text{H-H}}^3 = 6.5$ Гц, $\text{OCH}_2\text{CH}_2\text{CH}_3$), 3.83 т (2H, $J_{\text{H-H}}^3 = 8.7$ Гц, $\text{OCH}_2\text{CH}_2\text{CH}_3$), 4.36 и 4.39 два д, которые перекрываются (2H каждый, $J_{\text{H-H}}^2 = 13.7$ Гц и 13.1 Гц соответственно, Ar- CH_2 -акс.), 6.09 с (1H, OH), 6.41 уш.с (6H, ArH), 6.97 т (1H, $J_{\text{H-H}}^3 = 7.5$ Гц, ArH), 7.12 д (2H, $J_{\text{H-H}}^3 = 7.5$ Гц, ArH), 7.66 с (2H, ArH), 9.88 с (1H, CHO). Спектр ЯМР ^{13}C (CDCl_3) δ , м.д.: 191.02, 159.31, 156.48, 153.95, 136.64, 133.34, 131.13, 130.51, 130.31, 128.91, 128.17, 128.11, 127.36, 123.03, 122.84, 77.55, 76.21, 30.57, 30.46, 23.27, 22.29, 10.65, 9.43. Вычислено, %: C 78.86, H 7.31. $\text{C}_{38}\text{H}_{42}\text{O}_5$. Найдено, %: C 78.84; H 7.27.

5,11-Диформил-25,26,27-трипропокси-28-гидрокси-каликс[4]арен 2. 1,1-Дихлорметилметиловый эфир (0,65 мл, 7,35 ммоль) и 25,26,27,28-тетрапропокси-каликс[4]арен **4** (1,38 г, 2,3 ммоль) растворяют в

безводном хлороформе (150 мл) и охлаждают до -20°C. Прибавляют SnCl_4 (1,7 мл, 14,7 ммоль) и перемешивают 30 мин при температуре -20°C, затем доводят температуру до комнатной и перемешивают еще 3 ч. К реакционной смеси прибавляют воду (300 мл). Органический слой отделяют, промывают водой (2×200 мл), сушат над сульфатом натрия. Растворитель упаривают и получают продукт (1,11 г) в виде пены. Каликсарен **2** выделяют колоночной хроматографией. Элюент — гексан:этилацетат, 4:1. Получают бесцветное кристаллическое вещество. Выход — 0,17 г (12%). Т.пл. — 164-166°C. Спектр ЯМР ^1H (CDCl_3) δ , м.д.: 0.91 м (3H, $\text{OCH}_2\text{CH}_2\text{CH}_3$), 1.13 м (6H, $\text{OCH}_2\text{CH}_2\text{CH}_3$), 1.91 м (4H, $\text{OCH}_2\text{CH}_2\text{CH}_3$), 2.14 м (1H, $\text{OCH}_2\text{CH}_2\text{CH}_3$), 2.30 м (1H, $\text{OCH}_2\text{CH}_2\text{CH}_3$), 3.23 и 3.28 два д, которые перекрываются (1H каждый, $J_{\text{H-H}}^2 = 12.9$ и 13.4 Гц соответственно, Ar- CH_2 -экв.), 3.43 и 3.50 два д, которые перекрываются (1H каждый, $J_{\text{H-H}}^2 = 14.2$ та 13.4 Гц соответственно, Ar- CH_2 -экв.), 3.80 м (6H, $\text{OCH}_2\text{CH}_2\text{CH}_3$), 4.24, 4.36, 4.45 и 4.92 четыре д, которые перекрываются (1H каждый, $J_{\text{H-H}}^2 = 14.6$, 13.4, 13.5 и 13.9 Гц соответственно, Ar- CH_2 -акс.), 6.00 с (1H, OH), 6.42 м (3H, ArH), 6.83 и 6.86 два с, которые перекрываются (1H каждый), 7.01 м (1H, ArH), 7.21 м (2H, ArH), 7.67 и 7.73 два с, которые перекрываются (1H каждый, ArH), 9.35 и 9.90 два с (1H каждый, CHO). Вычислено, %: C 77.20; H 6.98. $\text{C}_{39}\text{H}_{42}\text{O}_6$. Найдено, %: C 76.27; H 6.86. LC-MS: $m/z = 606.77$ $[\text{M}]^+$.

Выводы

Синтезированные моно- и диформилтрипропоксикаликсарены **1** и **2**, благодаря наличию реакционноспособных альдегидных и гидроксильных групп, расположенных на противоположных ободах макроцикла, являются перспективными реагентами для дизайна широкого круга супрамолекулярных рецепторов, в том числе хиральных.

Литература

1. Gutsche C.D. *Calixarenes: an introduction, monographs in supramolecular chemistry*. — Royal Society of Chemistry, Cambridge, 2008.
2. Yoon K., Kim K. // *J. Org. Chem.* — 2005. — Vol. 70. — P. 427-432.
3. He H., Mortellaro M.A., Leiner M.J.P. et al. // *J. Am. Chem. Soc.* — 2003. — Vol. 125. — P. 1468-1469.
4. Kim J.S., Noh K.H., Lee S.H. et al. // *J. Org. Chem.* — 2003. — Vol. 68. — P. 597-600.
5. Chen Q.Y., Chen C.F. // *Tetrahedron Lett.* — 2005. — Vol. 46. — P. 165-168.
6. Lee J.Y., Kim S.K., Jung J.H., Kim J.S. // *J. Org. Chem.* — 2005. — Vol. 70. — P. 1463-1466.
7. Tomapatanaget B., Tuntulani T., Chailapakul O. // *Org. Lett.* — 2003. — Vol. 5. — P. 1539-1542.
8. Sansone F., Baldini L., Casnati A. et al. // *Proc. Natl. Acad. Sci. USA.* — 2003. — Vol. 99. — P. 4842-4847.
9. Seneque O., Rager M.N., Giorgi M., Reinaud O. // *J. Am. Chem. Soc.* — 2000. — Vol. 122. — P. 6183-6189.
10. Pinkhassik E., Sidorov V., Stibor I. // *J. Org. Chem.* — 1998. — Vol. 63. — P. 9644-9651.
11. Arduini A., Secchi A., Pochini A. // *J. Org. Chem.* — 2000. — Vol. 65. — P. 9085-9091.
12. Sartori A., Casnati A., Mandolini L. et al. // *Tetrahedron.* — 2003. — Vol. 59. — P. 5539-5544.
13. Arduini A., Fanni S., Manfredi G. et al. // *J. Org. Chem.* — 1995. — Vol. 60. — P. 1448-1453.
14. Solovyov A.V., Cherenok S.A., Tsybaly I.F. et al. // *Heteroatom Chem.* — 2001. — Vol. 12. — P. 58-67.
15. Cherenok S., Vovk A., Muravyova I. et al. // *Org. Lett.* — 2006. — Vol. 8. — P. 549-552.

16. Komori T., Shinkai S. // *Chem. Lett.* — 1992. — P. 901-904.
17. Arduini A., Manfredi J., Pochini A. et al. // *J. Chem. Soc., Chem. Commun.* — 1991. — P. 936-937.
18. Arimura T., Ide S., Nishioka T. et al. // *J. Chem. Res. (S)*. — 2000. — P. 234-236.
19. Casnati A. // *Gazz. Chim. Ital.* — 1997. — Vol. 127. — P. 637-649.
20. Margans J.O., Mendoza J., Pons M., Prados P. // *J. Org. Chem.* — 1997. — Vol. 62. — P. 4518-4520.
21. Matvieiev Y.I., Boyko V.I., Podoprigrina A.A., Kalchenko V.I. // *J. Incl. Phenomena and Macrocyclic Chem.* — 2008. — Vol. 61. — P. 89-92.
22. Tairov M., Kalchenko V. // *Ukr. J. Org. and Pharm. Chem.* — 2004. — Vol. 2. — P. 3-19.

Надійшла до редакції 28.08.2010 р.